

# NUM8

Mikołaj Kowalski

## 1 Wstęp

Celem niniejszego sprawozdania jest analiza i implementacja metody aproksymacji funkcji wielomianowej w postaci:

$$F(x) = \sum_{j=1}^m a_j \phi_j(x), \quad (1)$$

gdzie  $m \geq 3$ , a  $\phi_j(x)$  to zadane funkcje bazowe. Funkcja aproksymowana jest na podstawie danych zaburzonych generowanych dla ustalonego zestawu parametrów  $a_j$  oraz losowego zaburzenia  $\delta y_i$ . W pracy wykorzystano metodę najmniejszych kwadratów do wyznaczenia współczynników  $a_j$ , które najlepiej opisują dane zaburzone.

Niniejsze sprawozdanie zawiera wyniki przeprowadzonych eksperymentów oraz analize ich wpływu na jakość otrzymanych wyników.

## 2 Analiza problemu

Rozważono trzy różne funkcje  $F(x)$ , które są modelowane jako kombinacje liniowe funkcji bazowych:

$$\begin{aligned} F(x) &= 3 \sin(2x) + 2x^3 - e^x, \\ F(x) &= 2 \cos(3x) + 4x^3 + 5x, \\ F(x) &= 7\sqrt{x^3} + 3 \tan(x^5) + 9x^2. \end{aligned}$$

Dla ustalonego zestawu współczynników  $a_j$ , generowane są punkty  $\{x_i, y_i\}$ , gdzie  $y_i = F(x_i) + \delta y_i$ , a zaburzenia  $\delta y_i$  pochodzą z rozkładu normalnego. Celem aproksymacji jest wyznaczenie współczynników  $a_j$  minimalizujących błąd w sensie metody najmniejszych kwadratów.

## 3 Sposób rozwiązania

### 3.1 Generowanie danych

Dane eksperymentalne zostały wygenerowane poprzez dyskretyzację przedziału  $[0, 2]$  na  $n$  punktów  $x_i$ , dla których obliczono wartości  $y_i$  na podstawie wybranej funkcji  $F(x)$  z uwzględnieniem zaburzenia  $\delta y_i$ . Zaburzenia  $\delta y_i$  zostały wylosowane z rozkładu normalnego, gdzie  $\sigma$  jest parametrem kontrolującym poziom szumu.

Eksperymenty przeprowadzono dla różnych wartości  $n$  oraz  $\sigma$ , co umożliwiło analize wpływu liczby punktów pomiarowych oraz poziomu szumu na jakość aproksymacji.

## 3.2 Metoda najmniejszych kwadratów

Metoda najmniejszych kwadratów minimalizuje sumę kwadratów różnic między wartościami obserwowanymi a modelowymi. Problem ten można zapisać w postaci:

$$\mathbf{a} = (\mathbf{A}^T \mathbf{A})^{-1} \mathbf{A}^T \mathbf{y}, \quad (2)$$

gdzie  $\mathbf{A}$  to macierz funkcji bazowych, a  $\mathbf{y}$  to wektor obserwacji.

Rozwiązanie zostało zaimplementowane przy użyciu dekompozycji SVD (ang. Singular Value Decomposition), co zapewnia stabilność numeryczna w przypadku źle uwarunkowanych macierzy. Wyznaczone współczynniki  $a_j$  posłużyły do rekonstrukcji funkcji aproksymowanej oraz jej porównania z rzeczywistymi wartościami  $F(x)$ .

## 4 Analiza wyników

Eksperymenty przeprowadzono dla różnych wartości parametrów  $n$  oraz  $\sigma$ . Poniżej przedstawiono kluczowe obserwacje:

- **Wpływ szumu ( $\sigma$ ):** Dla małych wartości  $\sigma$ , aproksymowana funkcja  $F(x)$  bardzo dobrze odwzorowuje dane rzeczywiste. W miarę wzrostu  $\sigma$ , błąd aproksymacji rośnie, a wyznaczone współczynniki  $a_j$  zaczynają odbiegać od wartości rzeczywistych.
- **Wpływ liczby punktów ( $n$ ):** Mała liczba punktów skutkuje mniejszą dokładnością rekonstrukcji funkcji. Większa liczba punktów poprawia dokładność, ale jednocześnie zwiększa koszt obliczeniowy.

### 4.1 Porównanie wyników

Poniżej zaprezentowano przykłady rzeczywistych i wyznaczonych współczynników  $a_j$  dla wybranych funkcji:

- $F(x) = 3 \sin(2x) + 2x^3 - e^x$ :  
**Rzeczywiste:**  $[3, 2, -1]$ , **Wyznaczone:**  $[2.89266229, 1.95386607, -0.99953842]$ .
- $F(x) = 2 \cos(3x) + 4x^3 + 5x$ :  
**Rzeczywiste:**  $[2, 4, 5]$ , **Wyznaczone:**  $[1.9417414, 4.00711931, 4.88646084]$ .
- $F(x) = 7\sqrt{x^3} + 3 \tan(x^5) + 9x^2$ :  
**Rzeczywiste:**  $[7, 3, 9]$ , **Wyznaczone:**  $[7.237232, 2.97936677, 8.84020371]$ .

### 4.2 Wizualizacja wyników

Poniżej przedstawiono wykresy porównujące funkcje rzeczywiste, dane zaburzone oraz aproksymowane dla każdej z rozważanych funkcji:

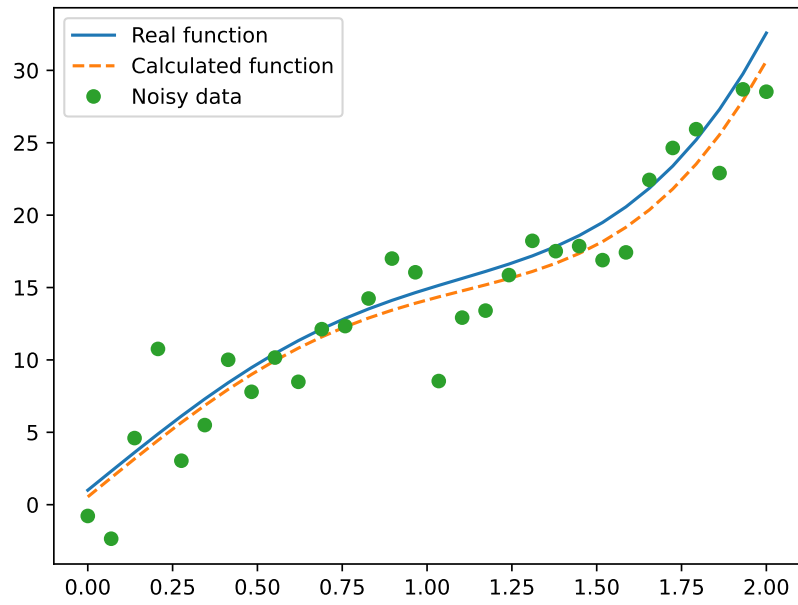


Figure 1: Aproksymacja dla  $F(x) = 3 \sin(2x) + 2x^3 - e^x$ .

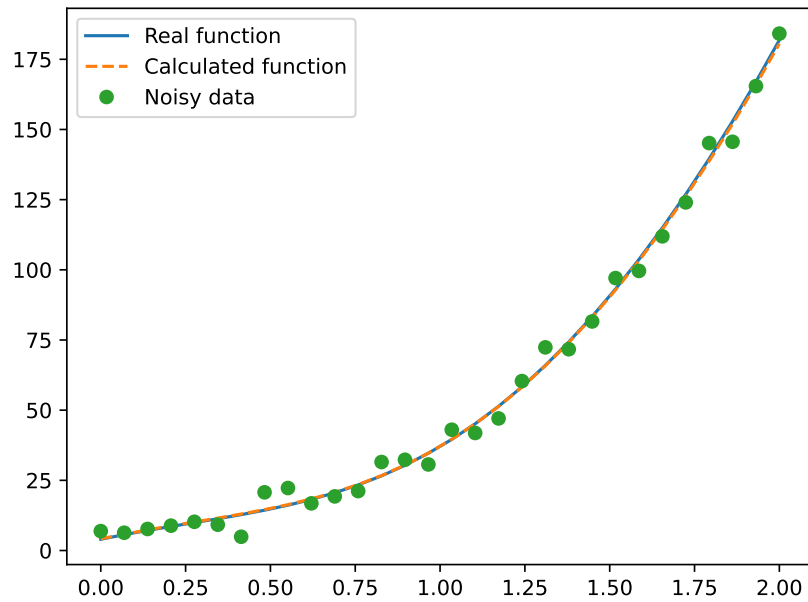


Figure 2: Aproksymacja dla  $F(x) = 2 \cos(3x) + 4x^3 + 5x$ .

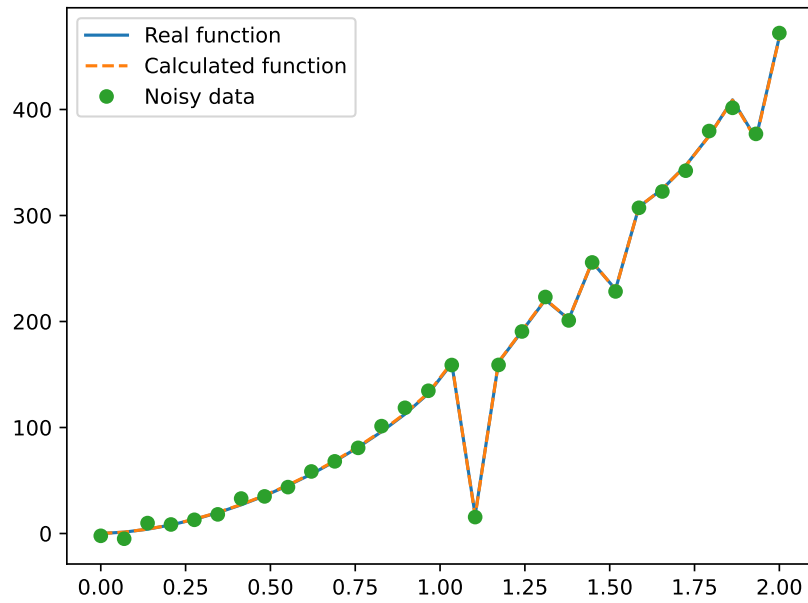


Figure 3: Aproksymacja dla  $F(x) = 7\sqrt{x^3} + 3\tan(x^5) + 9x^2$ .

## 5 Podsumowanie

Przeprowadzone eksperymenty potwierdziły skuteczność metody najmniejszych kwadratów w aproksymacji funkcji wielomianowych. Wyniki wskazują, że:

- Dokładność aproksymacji zależy od poziomu szumu ( $\sigma$ ) w danych oraz liczby punktów ( $n$ ).
- Dekompozycja SVD zapewnia stabilność numeryczną nawet dla źle uwarunkowanych macierzy.
- Przy optymalnym doborze  $n$  i  $\sigma$ , wyznaczone współczynniki  $a_j$  są bardzo bliskie wartościom rzeczywistym.